

AVALIAÇÃO DE GÉIS OBTIDOS A PARTIR DA ACETILAÇÃO DA QUITOSANA EM MEIO HETEROGÊNEO

Rosângela Balaban Garcia*, Dayse Luzia Pinheiro da Silva e Marta Costa

Departamento de Química, Universidade Federal do Rio Grande do Norte, CP 1662, 59078-970 Natal - RN, Brasil

Fernanda Nervo Raffin

Departamento de Tecnologia Farmacêutica e de Alimentos, Centro de Ciências da Saúde, Universidade Federal do Rio Grande do Norte, 59078-970 Natal - RN, Brasil

Naira Machado da Silva Ruiz

Centro de Pesquisa Leopoldo A. Miguez de Mello, CENPES, Ilha do Fundão, Quadra 7, Cidade Universitária, Rio de Janeiro - RJ, Brasil

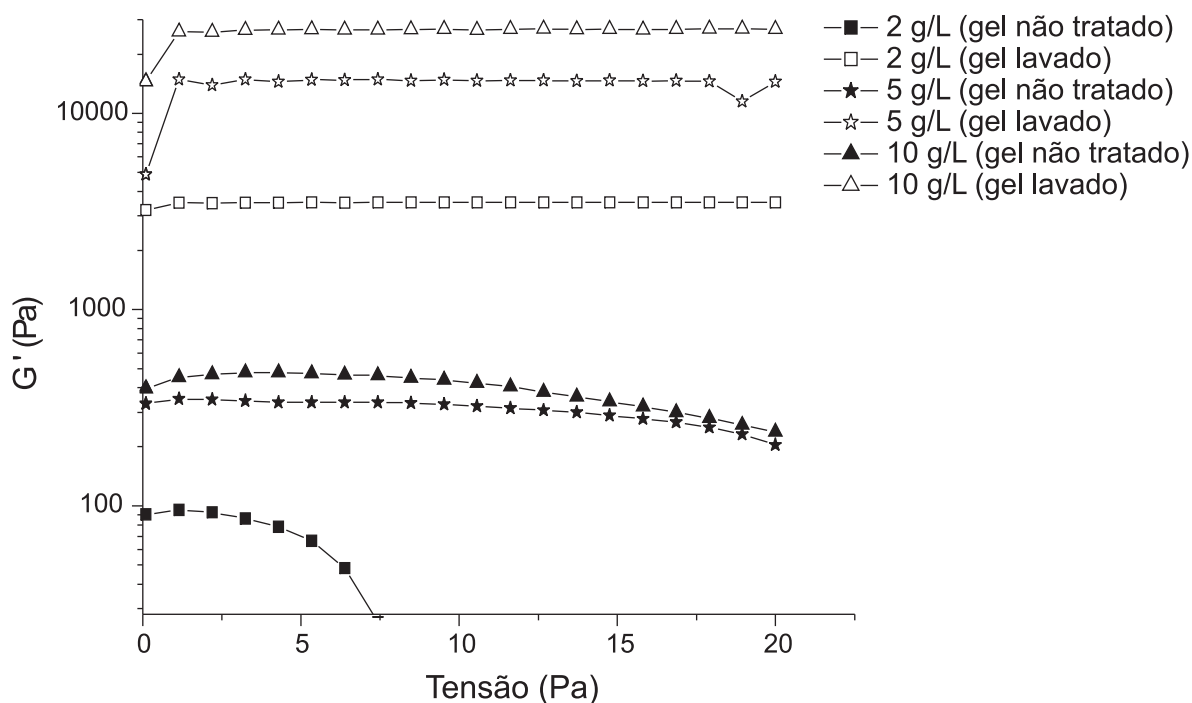


Figura 1S. Variação do módulo de estocagem (G') em função da tensão de cisalhamento aplicada para géis de QA5, a diferentes concentrações do polímero

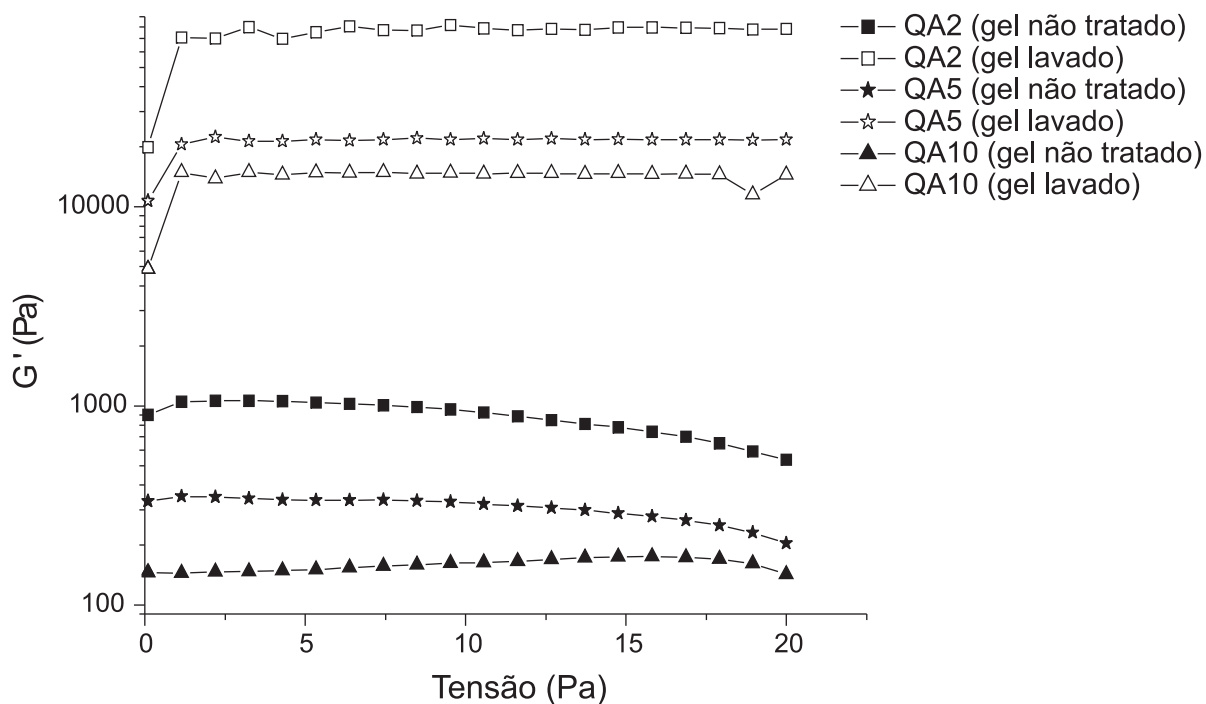


Figura 2S. Variação do módulo de estocagem (G') em função da tensão de cisalhamento aplicada, para géis de quitosana com diferentes graus de acetilação, à concentração de 5 g/L

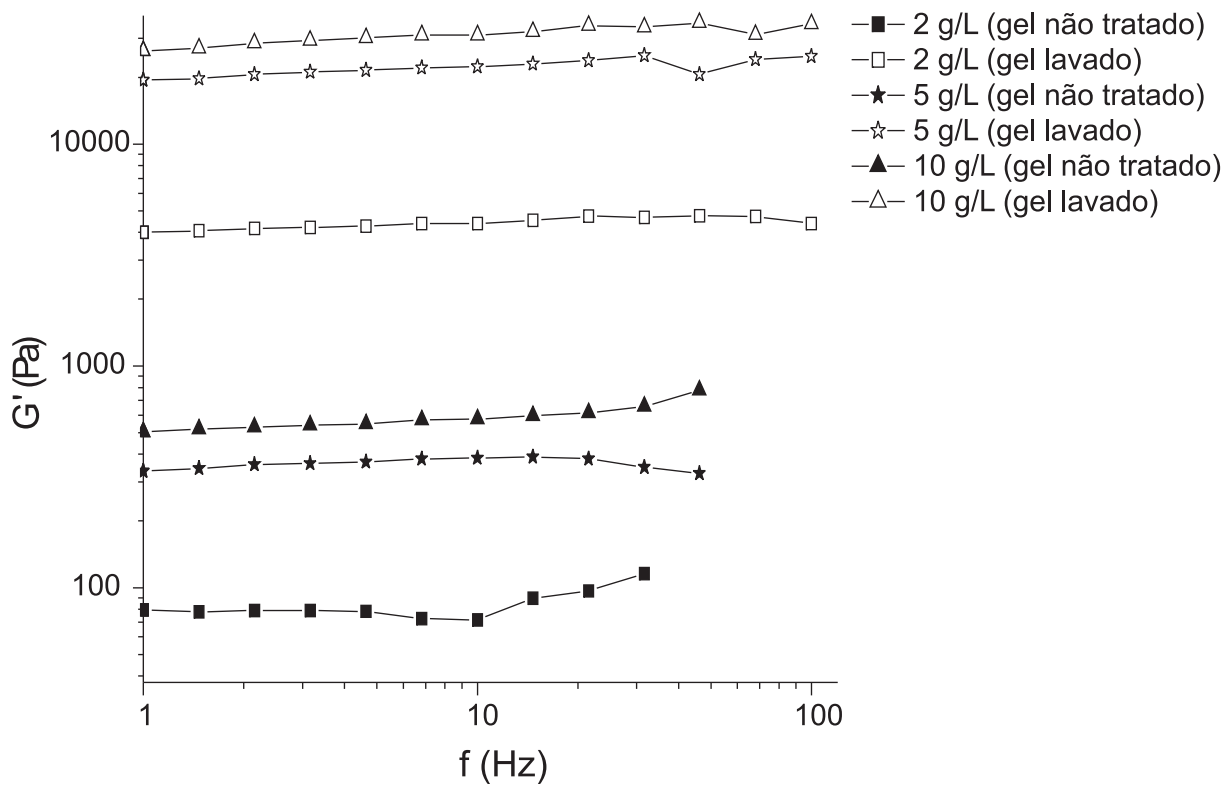


Figura 3S. Variação do módulo de estocagem (G') em função da frequência de cisalhamento utilizada para géis de QA5, a diferentes concentrações do polímero

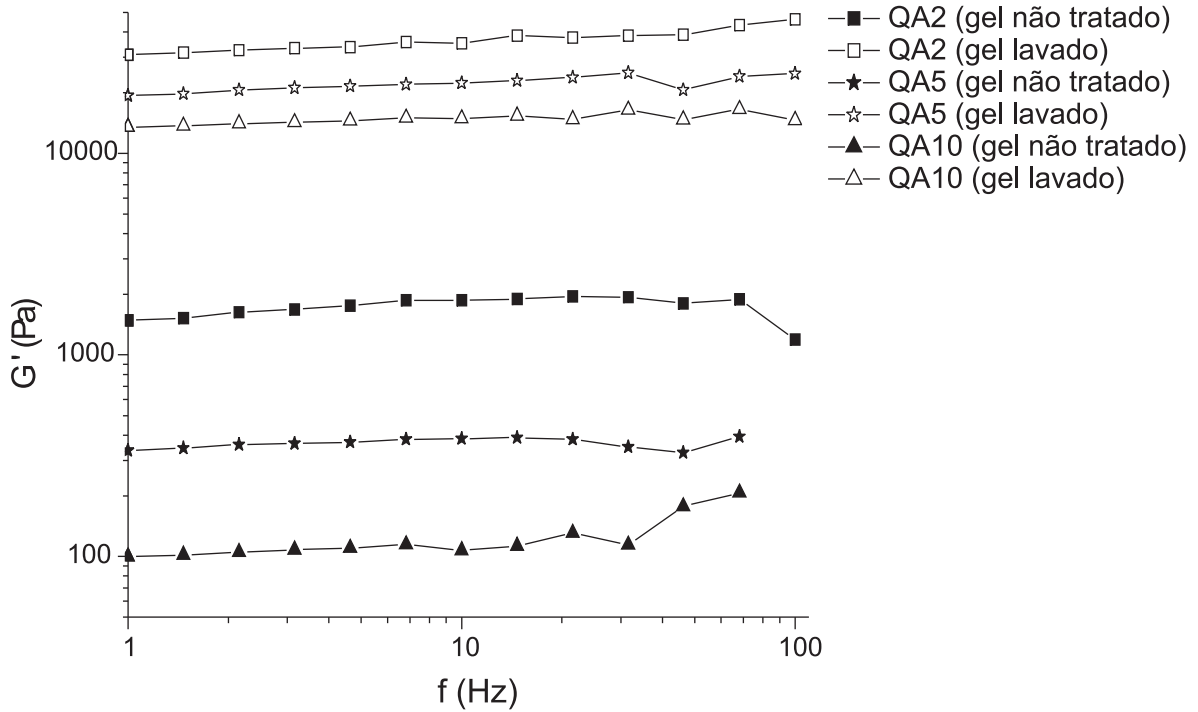


Figura 4S. Variação do módulo de estocagem (G') em função da frequência de cisalhamento utilizada para géis de quitosana com diferentes graus de acetilação, à concentração de polímero 5 g/L

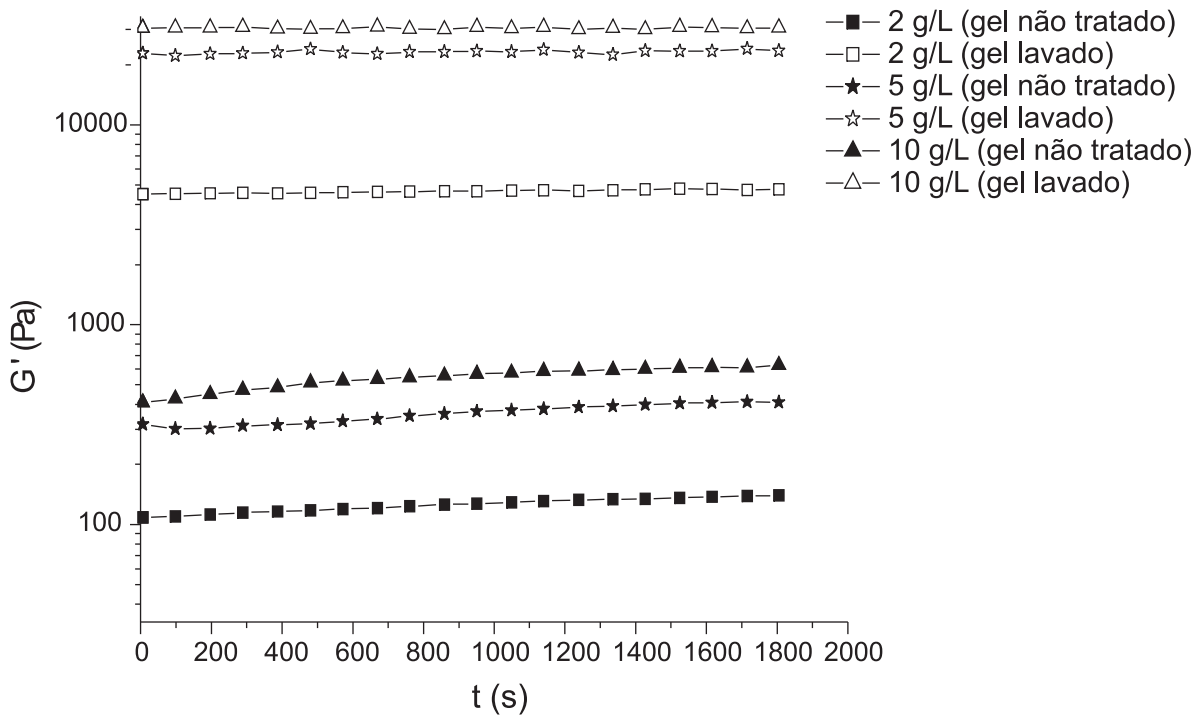


Figura 5S. Variação do módulo de estocagem (G') em função do tempo de cisalhamento para géis de QA5, a diferentes concentrações de polímero

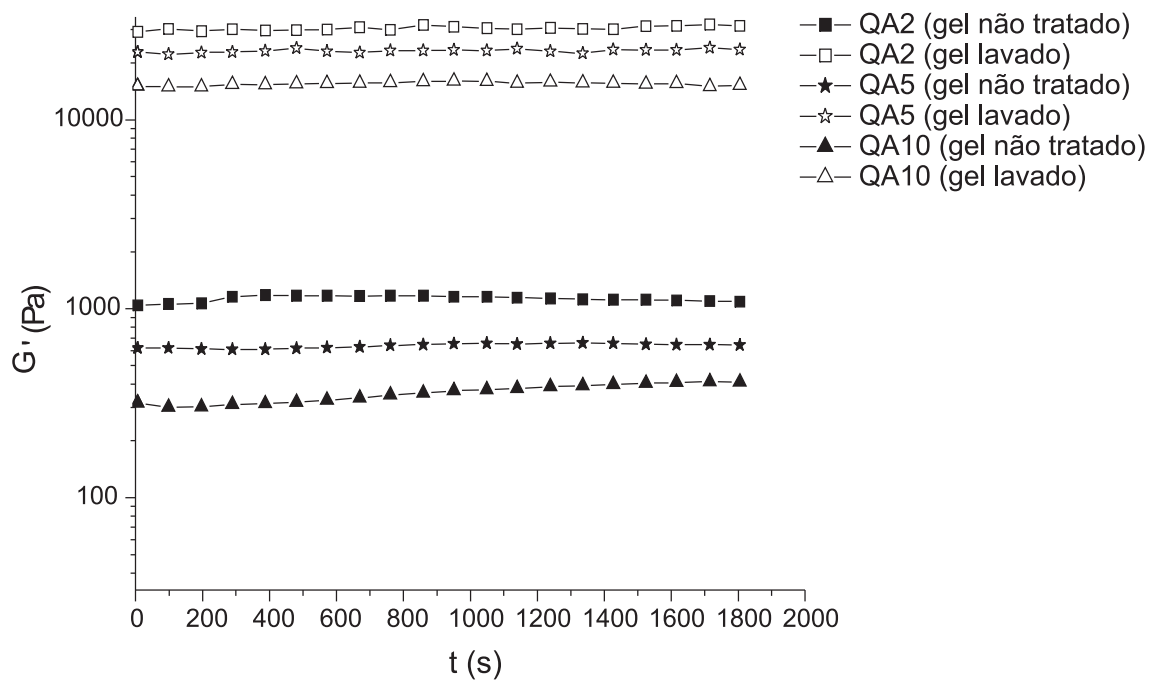


Figura 6S. Variação do módulo de estocagem (G') em função do tempo de cisalhamento, para géis de quitosana com diferentes graus de acetilação, à concentração de 5 g/L

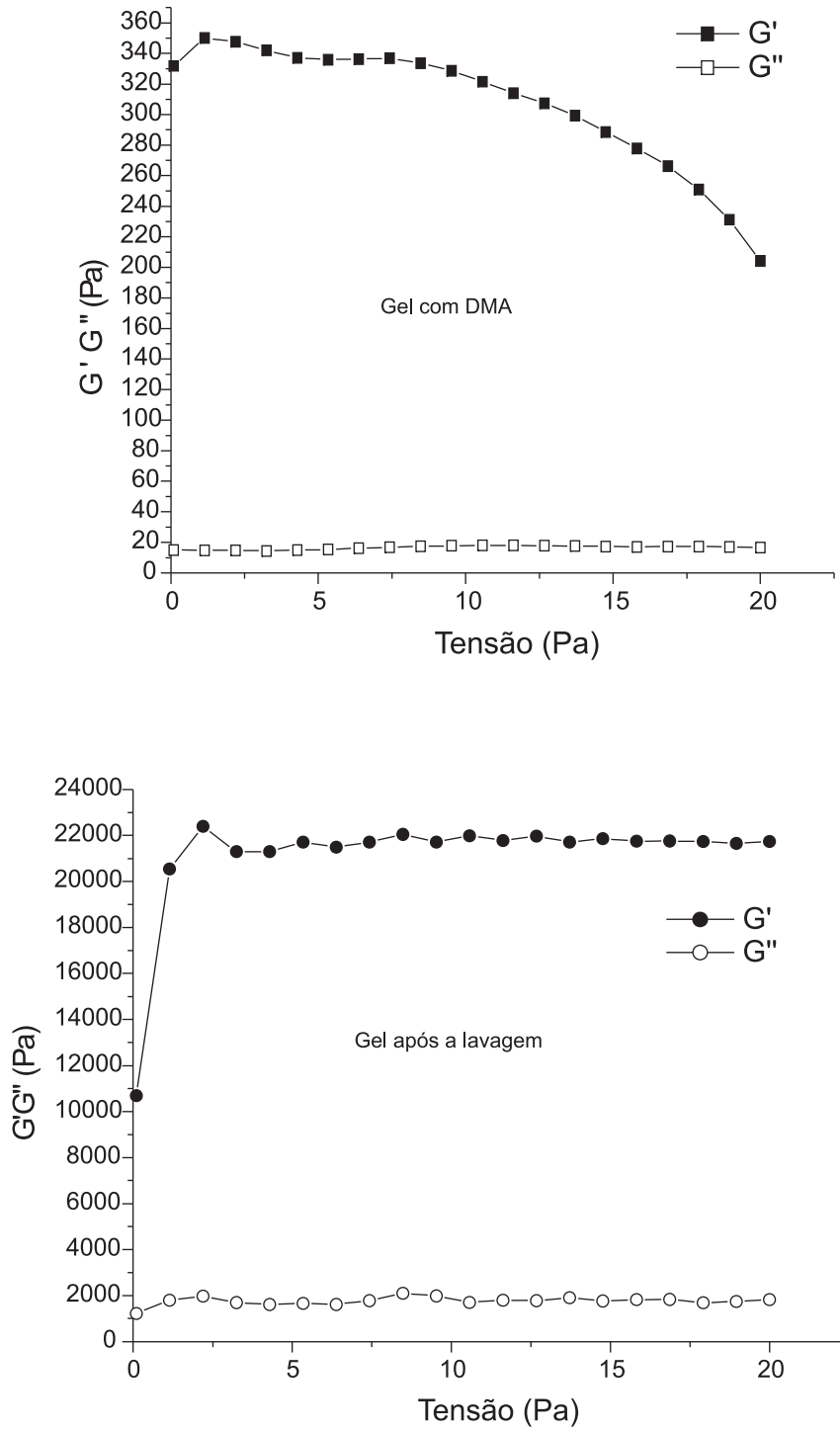


Figura 7S. Variação do módulo de estocagem (G') e de perda (G'') em função da tensão de cisalhamento aplicada para géis de quitosana QA5, à concentração de 5 g/L

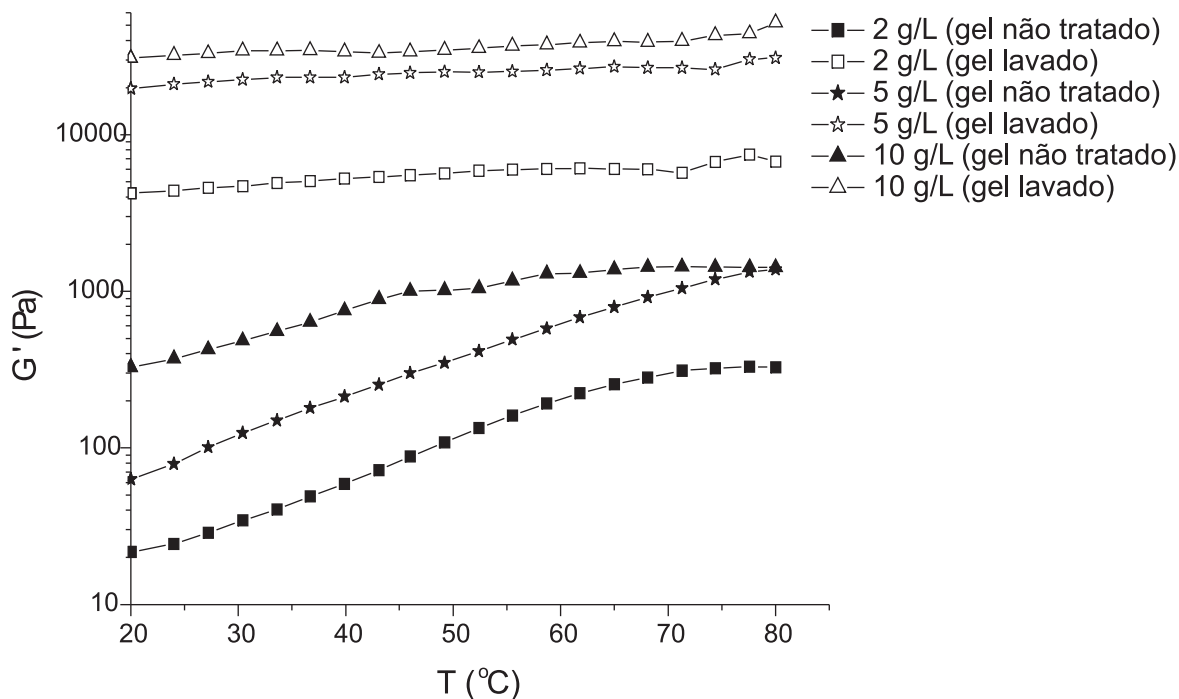


Figura 8S. Variação do módulo de estocagem (G') em função da temperatura para géis de QA5, a diferentes concentrações de polímero

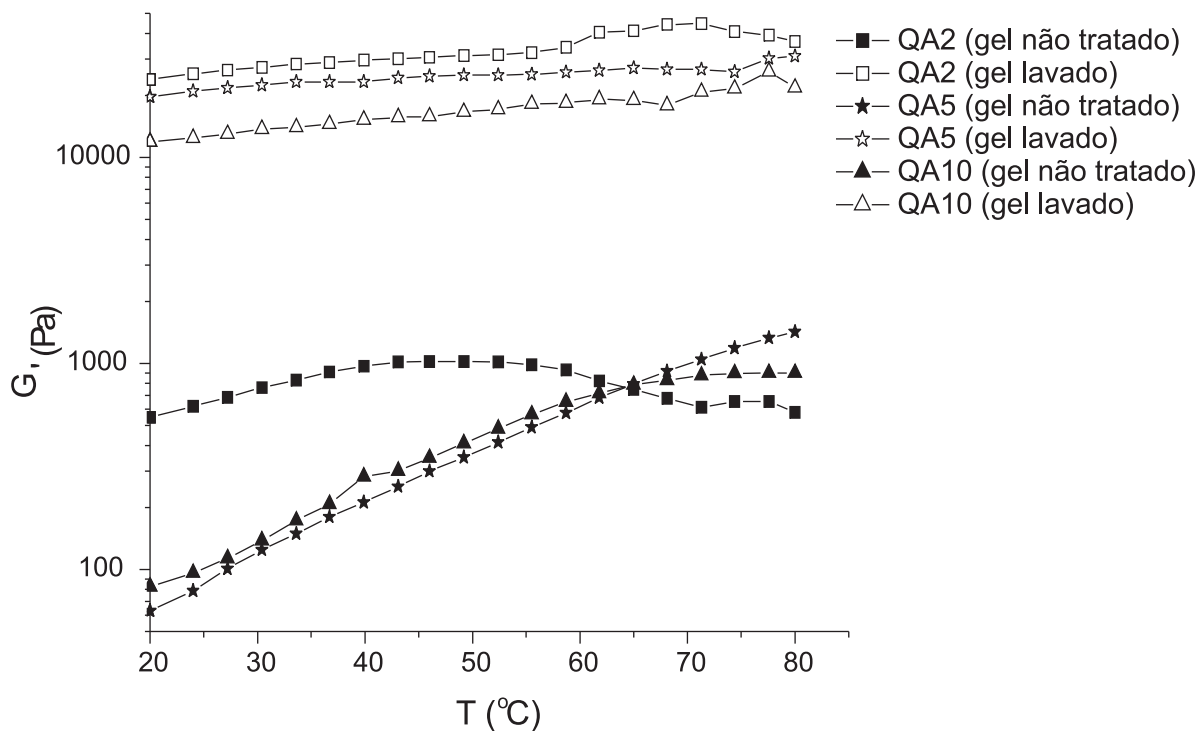


Figura 9S. Variação do módulo de estocagem (G') em função da temperatura para géis de quitosana com diferentes graus de acetilação, à concentração de 5 g/L